

# 陰解法によるSubloading $t_{ij}$ modelの定式化

tij地盤解析研究会・(株)地域地盤環境研究所・中部大学  
中井 照夫



## Subloading $t_{ij}$ modelが表現できること

Nakai & Hinokio (2004) : S&F, 44(2)

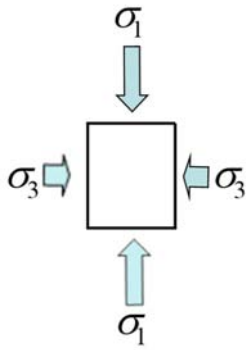
Nakai, Shahin, Kikumoto, Kyokawa, Zhang & Farias (2011) : S&F, 51(6)

Nakai (2012) : *Constitutive modeling of geomaterials*

- (1) **中間主応力**が変形・強度特性におよぼす影響
  - (2) **引張り応力の発生しない**構成モデル
  - (3) 変形・強度特性におよぼす間隙比や拘束応力の影響  
**「過圧密土」**
  - (4) 自然堆積粘土等に見られる構造の発達した土の挙動  
**「自然堆積土」**
  - (5) **ひずみ増分方向**におよぼす応力増分方向の影響
  - (6) **時間効果特性**すなわちレオロジー特性
- }  $t_{ij}$ の概念
- } 下負荷面の考え方とその拡張(密度とボンディングを考慮)
- } パラメータを増やさず塑性ひずみ増分の分割
- } 正規圧密線(NCL)のシフトと下負荷面

モデルはこれらの特性を唯一的な材料パラメータで説明できる。

## 2次元状態での応力の不変量

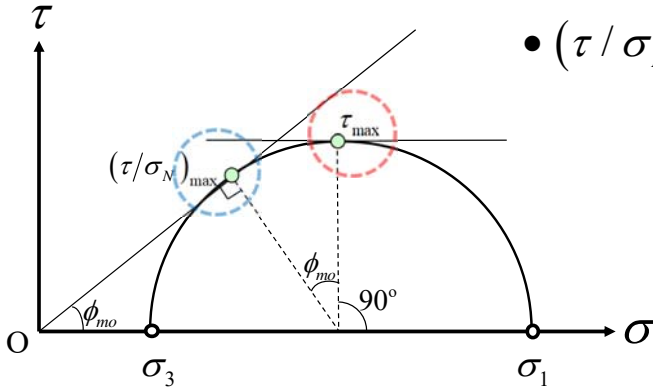


•  $\tau_{\max}$  面上での応力および応力比:

$$\sigma_{45^\circ} = s = \frac{\sigma_1 + \sigma_3}{2}$$

$$\tau_{45^\circ} = t = \frac{\sigma_1 - \sigma_3}{2}$$

$$\frac{\tau_{45^\circ}}{\sigma_{45^\circ}} = \frac{t}{s} = \sin \phi_{mo} = \frac{\sigma_1 - \sigma_3}{\sigma_1 + \sigma_3}$$



•  $(\tau / \sigma_N)_{\max}$  面上での応力および応力比:

$$\sigma_N = \frac{2\sigma_1\sigma_3}{\sigma_1 + \sigma_3}$$

$$\tau = \frac{(\sigma_1 - \sigma_3)\sqrt{\sigma_1\sigma_3}}{\sigma_1 + \sigma_3}$$

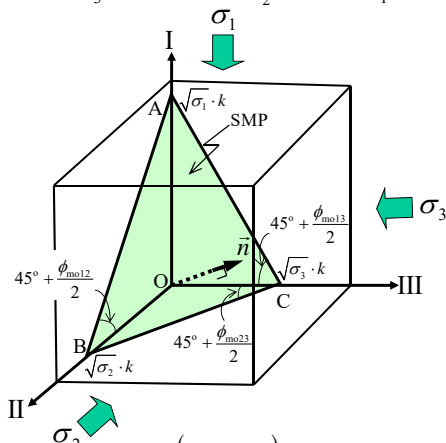
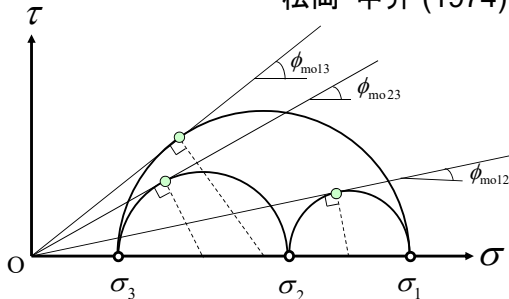
$$\frac{\tau}{\sigma_N} = \tan \phi_{mo} = \frac{\sigma_1 - \sigma_3}{2\sqrt{\sigma_1\sigma_3}} = \frac{1}{2} \left( \sqrt{\frac{\sigma_1}{\sigma_3}} - \sqrt{\frac{\sigma_3}{\sigma_1}} \right)$$

村山(1964)

## Subloading $t_{ij}$ model の概要(1)

空間滑動面 (SMP)

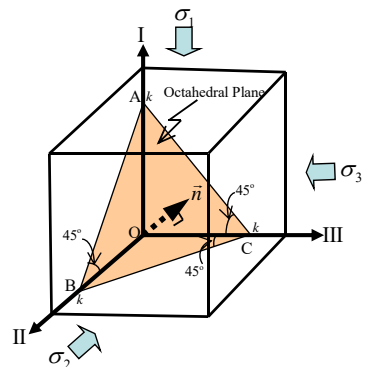
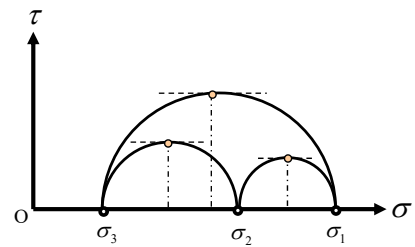
松岡・中井 (1974)



$$(a_1, a_2, a_3) = \left( \sqrt{I_3 / (I_2 \sigma_1)}, \sqrt{I_3 / (I_2 \sigma_2)}, \sqrt{I_3 / (I_2 \sigma_3)} \right)$$

cf. ordinary model (e.g. Cam clay)

正八面体面 (Oct. plane)

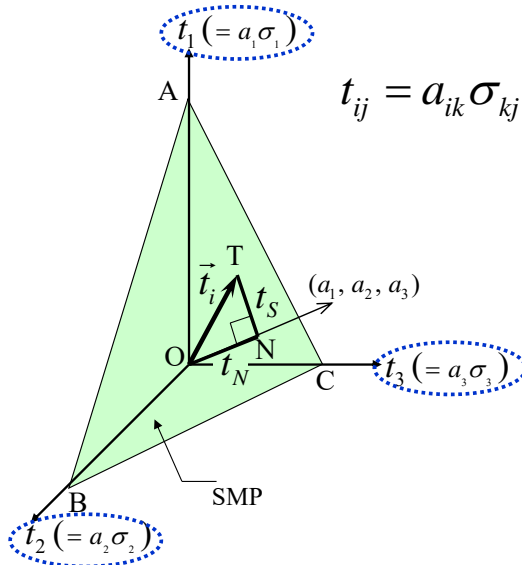


## Subloading $t_{ij}$ model の概要(2)

$t_{ij}$  の概念に基づく応力の不変量

中井・三原(1984)

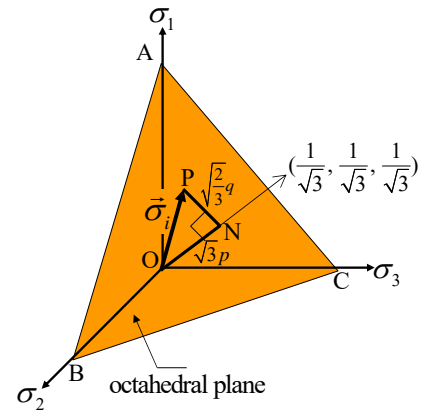
$$t_1 = a_1 \sigma_1, \quad t_2 = a_2 \sigma_2, \quad t_3 = a_3 \sigma_3$$



$$t_{ij} = a_{ik} \sigma_{kj}$$

$$\begin{cases} t_N = ON = t_1 a_1 + t_2 a_2 + t_3 a_3 \\ t_S = NT = \sqrt{(t_1 a_2 - t_2 a_1)^2 + (t_2 a_3 - t_3 a_2)^2 + (t_3 a_1 - t_1 a_3)^2} \end{cases}$$

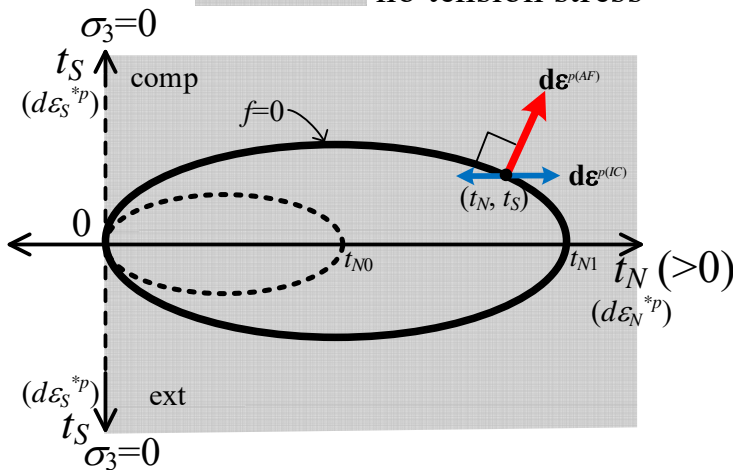
cf. ordinary model (e.g. Cam clay)



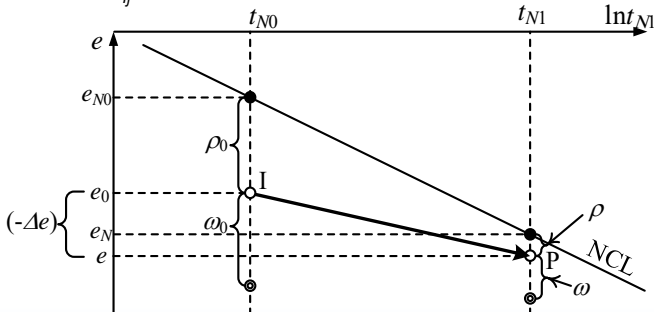
$$\begin{cases} p = \sqrt{\frac{1}{3}} ON = \frac{1}{3} (\sigma_1 + \sigma_2 + \sigma_3) \\ q = \sqrt{\frac{3}{2}} NP = \frac{1}{\sqrt{2}} \sqrt{(\sigma_1 - \sigma_2)^2 + (\sigma_2 - \sigma_3)^2 + (\sigma_3 - \sigma_1)^2} \end{cases}$$

## Subloading $t_{ij}$ model の概要(3)

no tension stress

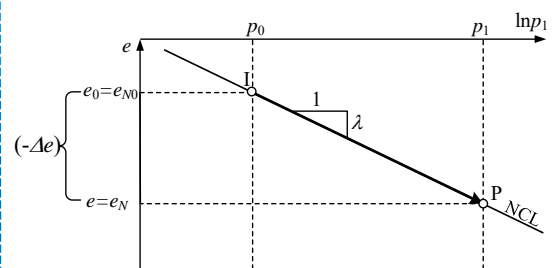
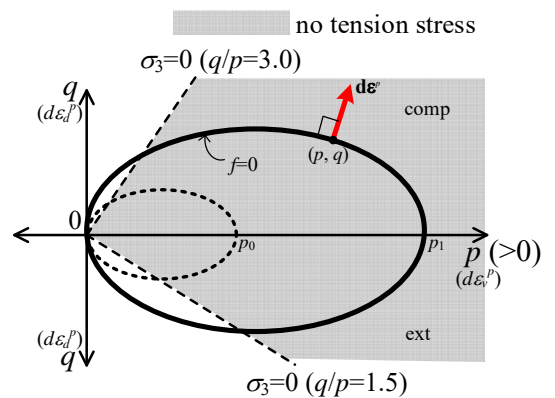


$t_{ij}$  modelの初期および現降伏曲面と塑性流れ則



密度を表す状態変数  $\rho$  の定義

cf. ordinary model (e.g. Cam clay)



# Subloading $t_{ij}$ model の概要(4)

降伏関数:

$$\bullet f = F - H - \frac{1}{\lambda - \kappa} (\rho_0 - \rho) = 0$$

$$\left( \begin{array}{l} F = \ln \frac{t_{N1}}{t_{N0}} = \ln \frac{t_N}{t_{N0}} + \zeta(X) \quad (\text{where } X = t_s/t_N) \\ \zeta(X) = \frac{1}{\beta} \left( \frac{X}{M^*} \right)^\beta \\ H = \frac{(-\Delta e)^p}{\lambda - \kappa} = \frac{1 + e_0}{\lambda - \kappa} \varepsilon_v^p \end{array} \right.$$

流れ則:

$$\bullet d\varepsilon_{ij}^p = \Lambda \frac{\partial F}{\partial t_{ij}} - \text{weight}^{(IC)} \cdot \left( L^{(IC)} \frac{dt_N}{t_N} \frac{\partial t_{ij}}{\partial t_{kk}} - L^{(IC)} \frac{dt_N}{t_N} \frac{\delta_{ij}}{3} \right)$$

硬化パラメータ (塑性体積ひずみ) の増分:

$$\bullet d\varepsilon_v^p = d\varepsilon_{kk}^p = \Lambda \frac{\partial F}{\partial t_{kk}}$$

$\rho (= e_N - e)$  の発展則:

$$\bullet d\rho = -(1 + e_0) \sqrt{3} \frac{G/(1 + k_a X) + Q/(1 + k_b X)}{t_N} \Lambda$$

(where  $G = a\rho, \quad Q = b\omega$ )

cf. ordinary model (e.g. Cam clay)

$$\bullet f = F - H = 0$$

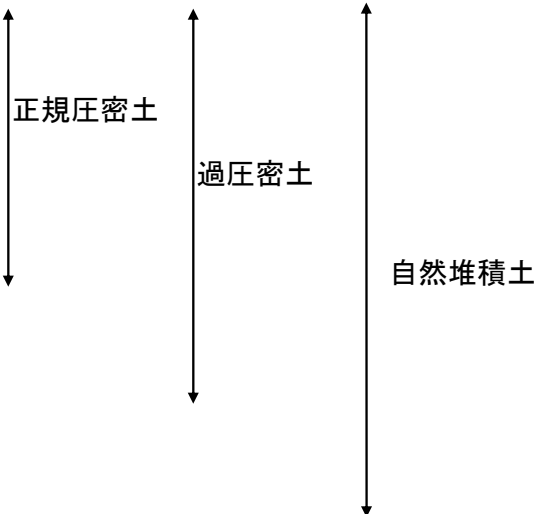
$$\left( \begin{array}{l} F = \ln \frac{p_1}{p_0} = \ln \frac{p}{p_0} + \zeta(\eta) \quad (\text{where } \eta = q/p) \\ \zeta(\eta) = \frac{\eta}{M} \quad (\text{ori.}) \\ \quad = \ln \frac{M^2 + \eta^2}{M^2} \quad (\text{mod.}) \\ H = \frac{(-\Delta e)^p}{\lambda - \kappa} = \frac{1 + e_0}{\lambda - \kappa} \varepsilon_v^p \end{array} \right.$$

$$\bullet d\varepsilon_{ij}^p = \Lambda \frac{\partial F}{\partial \sigma_{ij}}$$

$$\bullet d\varepsilon_v^p = d\varepsilon_{kk}^p = \Lambda \frac{\partial F}{\partial \sigma_{kk}}$$

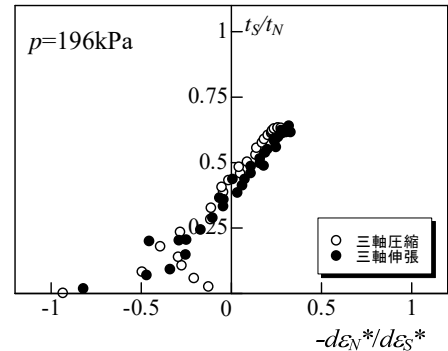
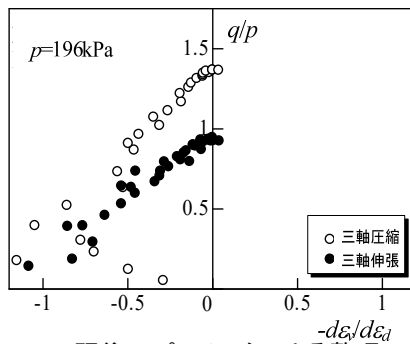
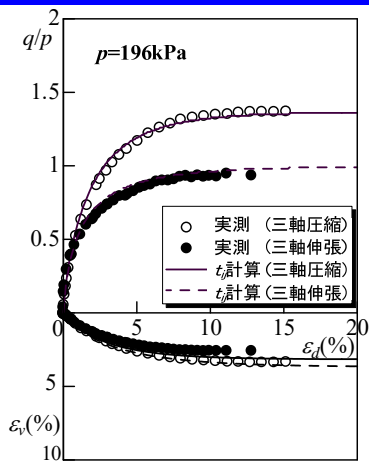
# 材料パラメータ

$\lambda$	0.090 or 0.104	Same parameters as Cam clay model
$\kappa$	0.010	
$N = e_{NC}$ at $p = 98$ kPa	0.83	
$R_{cs} = (\sigma_1/\sigma_3)_{cs(comp.)}$	3.5	
$\nu_e$	0.2	
$\beta$	1.5	Shape of yield surface
$a$	100	Influence of density and confining pressure
$k_a$	8	
$b$	10	Influence of bonding
$Q_0 = b\omega_0$	10	
$k_b$	3	



藤森粘土

# $t_{ij}$ の概念に基づいたモデルによる解析(粘土)

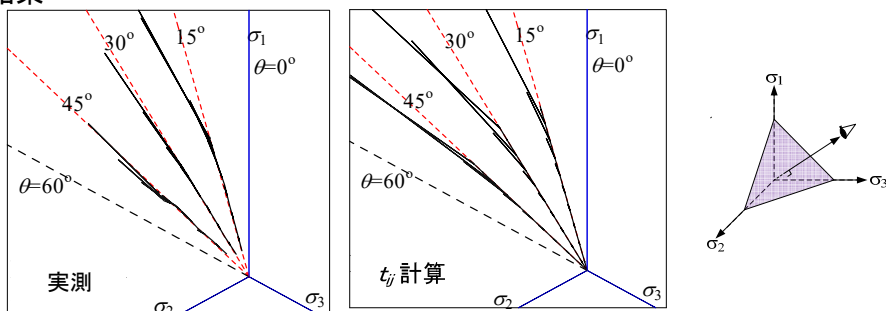


(a) 既往のパラメータによる整理

(b)  $t_{ij}$  のパラメータによる整理

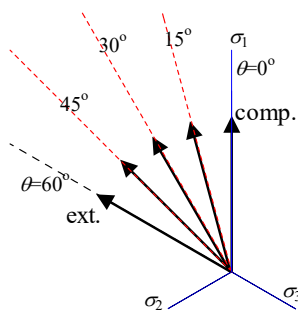
正規圧密粘土の応力・ひずみ関係の実測値と解析結果

正規圧密粘土の応力比～ひずみ増分比関係

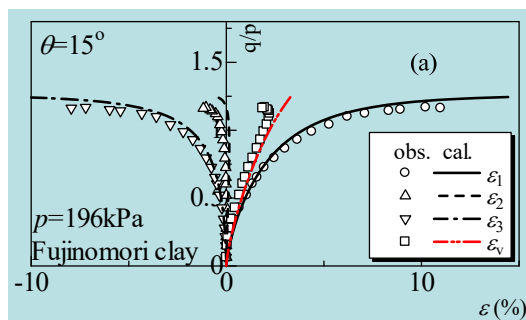


三主応力制御試験の正八面体面上のひずみ増分方向の実測値と解析結果

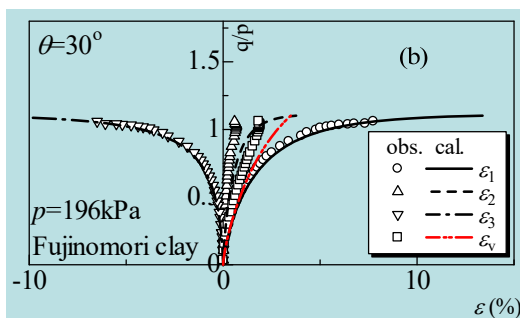
## 正規圧密粘土の3主応力制御試験



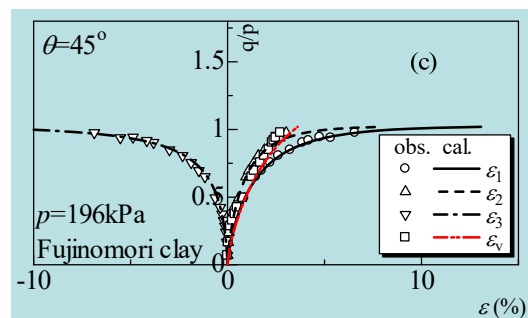
正八面体面状の応力経路



$\theta=15^\circ$

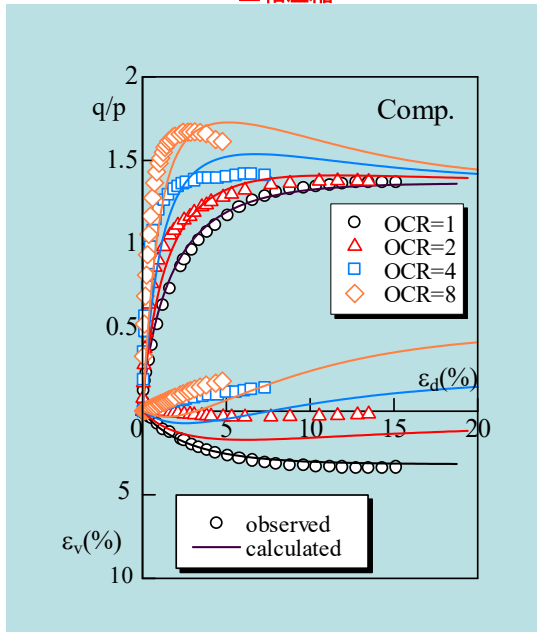
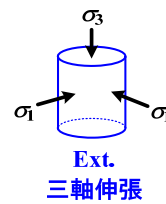
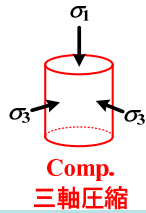


$\theta=30^\circ$

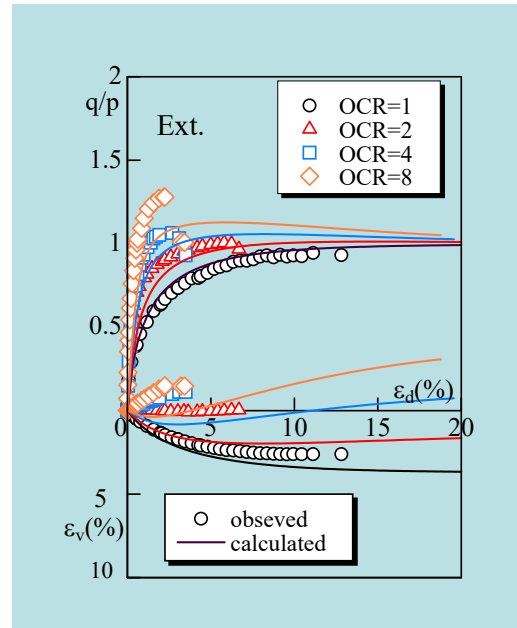


$\theta=45^\circ$

# 正規および過圧密粘土の三軸圧縮および伸張試験

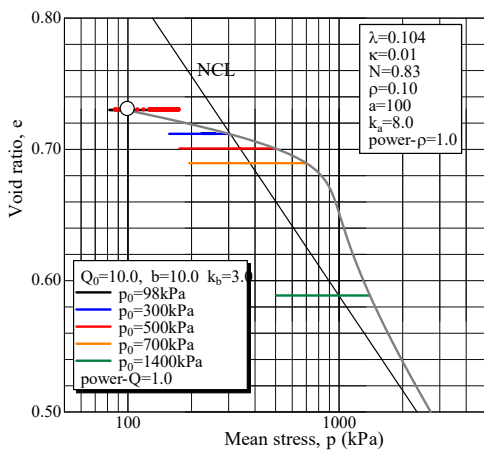


$q/p : \epsilon_d : \epsilon_v$  relation

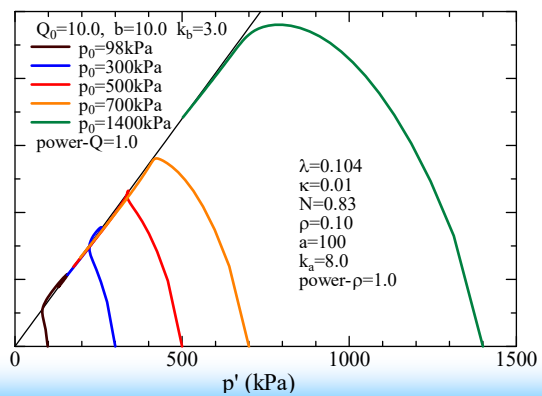
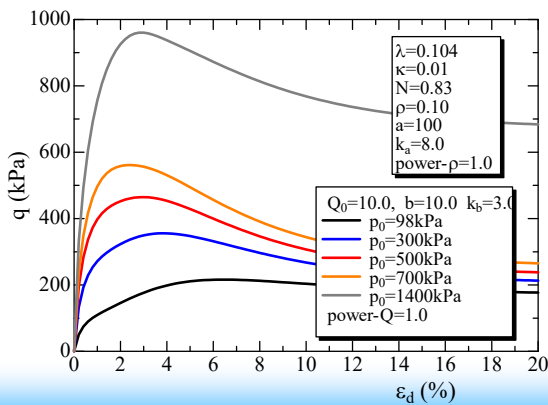


$q/p : \epsilon_d : \epsilon_v$  relation

# Structured clayの非排水せん断試験の解析結果



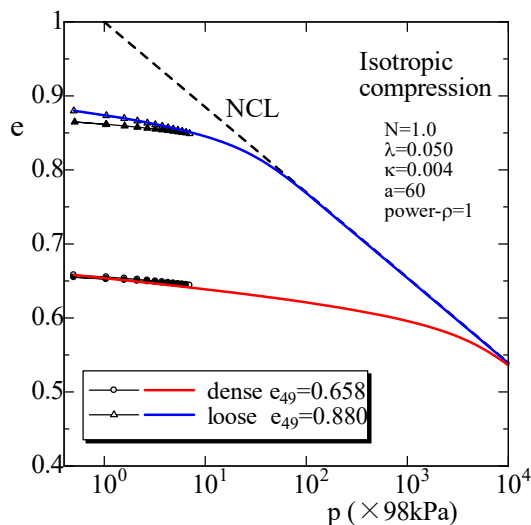
$e_0 = 0.73$ ,  $p_0 = 98kPa$ ,  $Q_0 = 10.0$ ,  $b = 10$   
 の初期状態から等方圧縮した後の  
 非排水三軸圧縮試験の解析結果



# 豊浦砂の材料パラメータと等方圧縮試験結果

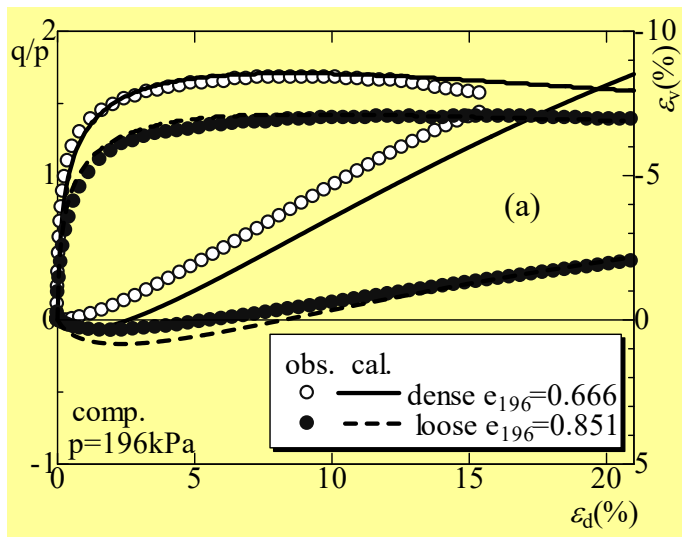
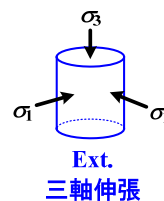
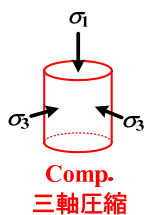
## 材料パラメータ

$\lambda$	0.05	Same parameters as Cam clay model
$\kappa$	0.004	
$e_{NC}$ at $p = 98$ kPa & $q = 0$ kPa	1.0	
$R_{cs} = (\sigma_1/\sigma_3)_{cs(comp)}$	3.2	
$v_e$	0.2	
$\beta$	1.6	Shape of yield surface (same as original Cam clay at $\beta = 1$ )
$a$	60	Influence of density and confining pressure
$k_a$	16	

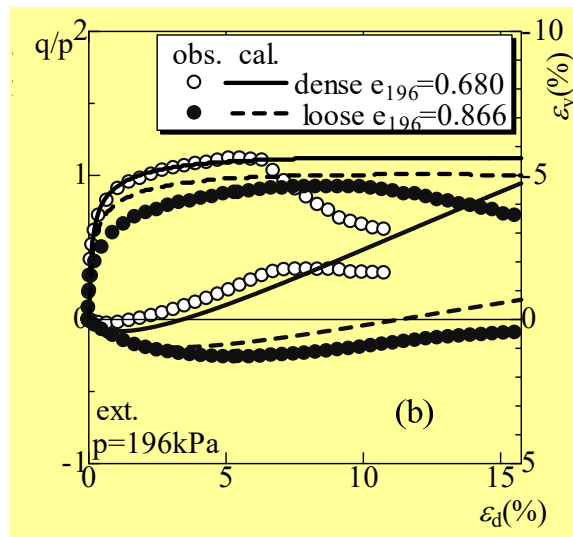


等方圧縮試験結果とシミュレーション

# 緩い砂および密な砂の三軸圧縮および伸張試験

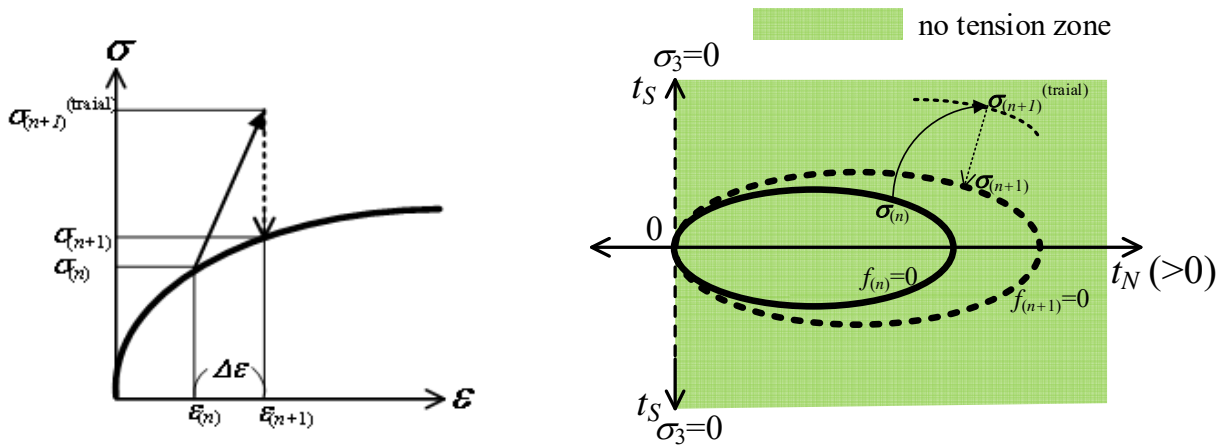


$q/p: \epsilon_d: \epsilon_v$  relation



$q/p: \epsilon_d: \epsilon_v$  relation

# Return mappingアルゴリズム



現状態を $n$ とし、その時のひずみおよび応力を $\varepsilon_{(n)}$ ,  $\sigma_{(n)}$ とする。この状態から、 $\Delta\varepsilon$ のひずみ増分を与えた状態を $n+1$ とする。Return mappingではまず $\Delta\varepsilon$ のひずみ増分はすべて弾性ひずみと仮定し、試行弾性状態の応力 $\sigma_{(n+1)}^{(trial)}$ を求め、その後 $n+1$ で降伏関数 $f_{(n+1)}=0$ を満たす応力状態がなるように解くことになる。

## return mappingのアルゴリズム(時間効果特性なし)

下添字の $n+1$ を省略して表示

$$\left[ \begin{array}{l} \bullet \mathbf{b}_1 = \boldsymbol{\varepsilon}^e - (\boldsymbol{\varepsilon}_n^e + \Delta\boldsymbol{\varepsilon}) + \Delta\gamma \mathbf{N} - \text{weight}^{(IC)} \cdot L^{(IC)} \ln \frac{t_N}{t_{N,n}} \left( \frac{\mathbf{N}}{\text{tr}\mathbf{N}} - \mathbf{N}^{(IC)} \right) = 0 \quad \leftarrow \text{流れ則} \\ \bullet b_2 = \rho - \rho_n - \Delta\gamma \left\{ -(1+e_0)\sqrt{3} \frac{G/(1+k_a X) + Q/(1+k_b X)}{t_N} \right\} = 0 \quad \leftarrow \rho \text{の発展則} \\ \bullet b_3 = \ln \frac{t_N}{t_{N0}} + \zeta(X) - \frac{1+e_0}{\lambda - \kappa} \left\{ \varepsilon_{v,n}^p + \Delta\gamma \text{tr}\mathbf{N} \right\} - \frac{1}{\lambda - \kappa} (\rho_0 - \rho) = 0 \quad \leftarrow \text{降伏関数} \end{array} \right.$$

この非線形連立方程式を $\varepsilon^e$ ,  $\Delta\gamma$ ,  $\rho$ を未知数としてニュートン法で解けばよい

where,

$$\boldsymbol{\varepsilon} = (\varepsilon_{11} \quad \varepsilon_{22} \quad \varepsilon_{33} \quad \gamma_{12} \quad \gamma_{23} \quad \gamma_{31})^T$$

$$\mathbf{t} = (t_{11} \quad t_{22} \quad t_{33} \quad t_{12} \quad t_{23} \quad t_{31})^T$$

$$\mathbf{N} = (\partial F / \partial t_{11} \quad \partial F / \partial t_{22} \quad \partial F / \partial t_{33} \quad 2\partial F / \partial t_{12} \quad 2\partial F / \partial t_{23} \quad 2\partial F / \partial t_{31})^T$$

$$\mathbf{N}^{(IC)} = (1/3 \quad 1/3 \quad 1/3 \quad 0 \quad 0 \quad 0)^T$$

$$F = \ln \frac{t_N}{t_{N0}} + \zeta(X)$$

$$\text{tr}\mathbf{N} = \text{tr}(\partial F / \partial \mathbf{t}) = \partial F / \partial t_{11} + \partial F / \partial t_{22} + \partial F / \partial t_{33}$$

$$G = a\rho, \quad Q = b\omega$$

$$L^{(IC)} = \left\langle \frac{\partial F}{\partial t_{kk}} \frac{t_N}{\sqrt{3}} \right\rangle^2 / h^{p(IC)}$$



# 非排水三軸圧縮試験の陽解法および陰解法の解析

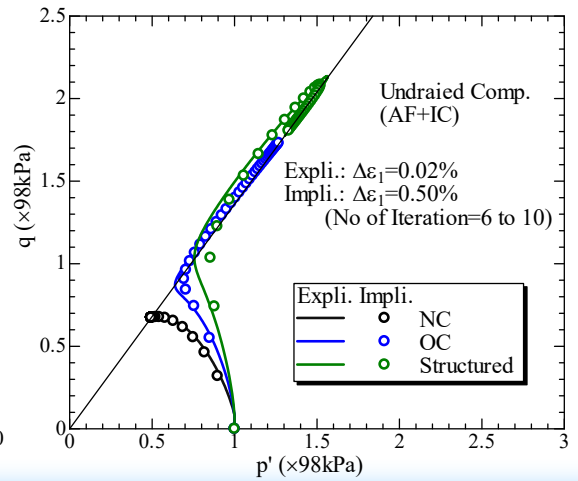
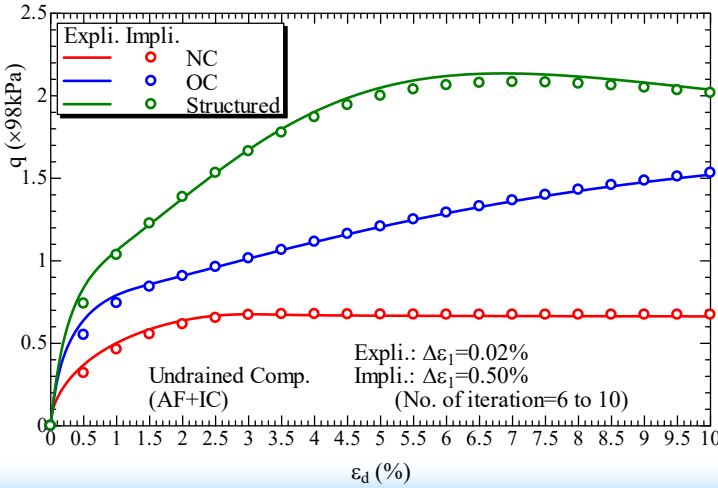
非排水せん断 ( $p_0=98\text{kPa}$ )

(a) 正規圧密粘土 ( $e_0=0.83$ )

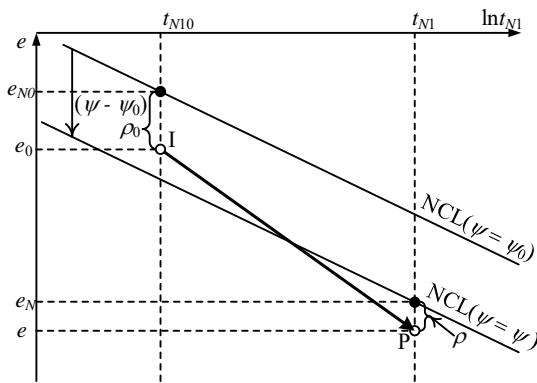
(b) 過圧密粘土 ( $e_0=0.73$ )

(c) 構造化した粘土 ( $e_0=0.73, Q_0=10.0(\omega_0=1.0)$ )

$\lambda$	0.104	Same parameters as Cam clay model
$\kappa$	0.010	
$e_{NC}$ at $p=98\text{ kPa}$ & $q=0\text{ kPa}$	0.83	
$R_{cs} = (\sigma_1/\sigma_3)_{cs(comp)}$	3.5	Shape of yield surface
$v_e$	0.2	
$\beta$	1.5	Influence of density and confining pressure
$a$	100	
$k_a$	8	Influence of bonding
$b$	10	
$k_b$	3	



## 時間効果特性を考慮したモデルへの拡張



初期状態(I点)および現状態(P点)における間隙比と  $\rho, \psi$  の関係

降伏関数 (NCLのsiftを考慮):

$$\begin{aligned} (-\Delta e)^p &= (e_0 - e) - (-\Delta e)^e \\ &= \{(e_{N0} - e_N) - (-\Delta e)^e\} - (\rho_0 - \rho) \\ &= \left\{ (\lambda - \kappa) \ln \frac{t_{N1}}{t_{N0}} + (\psi - \psi_0) \right\} - (\rho_0 - \rho) \end{aligned}$$

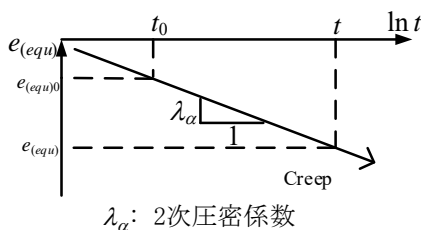
$$f = F - H - \frac{1}{\lambda - \kappa} \left\{ (\rho_0 - \rho) + (\psi_0 - \psi) \right\} = 0$$

NCLのsift量と塑性ひずみ速度の関係

$$\psi - \psi_0 = (-\dot{e})_{(equ)0}^p - (-\dot{e})_{(equ)}^p = \lambda_\alpha \ln(t/t_0)$$

$$\psi - \psi_0 = -\lambda_\alpha \ln \left\{ \frac{(-\dot{e})_{(equ)}^p}{(-\dot{e})_{(equ)0}^p} \right\}$$

$$\left( \begin{aligned} \because \psi - \psi_0 &= e_{(equ)0} - e_{(equ)} = \lambda_\alpha \ln(t/t_0) \\ \dot{\psi} &= -\dot{e}_{(equ)} = \lambda_\alpha / t \end{aligned} \right)$$



正規圧密土のCreep特性

ここに、 $(-\dot{e})_{(equ)}^p = \sqrt{3}(1+e_0) \|\dot{\epsilon}_{ij}^p\| = \sqrt{3}(1+e_0) \|d\epsilon_{ij}^p\|/dt$   
(等方圧縮時に  $(-\dot{e})_{(equ)}^p = (-\dot{e})^p$  となる)

## return mappingのアルゴリズム(時間効果特性を考慮)

NCLのsift量は塑性ひずみ速度を使って

$$\psi - \psi_0 = -\lambda_\alpha \ln \left\{ \frac{(-\dot{e})_{(equ)}^p}{(-\dot{e})_{(equ)0}^p} \right\}$$

と与えられるので、その増分は次式で表現される

$$d\psi = -\lambda_\alpha \frac{1}{(-\dot{e})_{(equ)}^p} d(-\dot{e})_{(equ)}^p$$

上式を参考に、n stepから(n+1) step間の $\psi$ の変化量 $\Delta\psi$ (発展則)を次式で与える。

$$\Delta\psi = -\lambda_\alpha \frac{1}{\left( (-\dot{e})_{(equ),n}^p + (-\dot{e})_{(equ)}^p \right) / 2} \left\{ (-\dot{e})_{(equ)}^p - (-\dot{e})_{(equ),n}^p \right\} = -\lambda_\alpha \frac{2(R-1)}{1+R}$$

$$\text{where } R = \frac{(-\dot{e})_{(equ)}^p}{(-\dot{e})_{(equ),n}^p} = \frac{\sqrt{3}(1+e_0)\|\mathbf{N}\|\Delta\gamma}{(-\dot{e})_{(equ),n}^p \Delta t}$$

したがって、前述のreturn mapping式に青で囲んだ項を加えるだけで、時間効果を考慮したモデルのreturn mapping式に拡張できる

$$\left[ \begin{array}{l} \bullet b_1 = \varepsilon^e - \varepsilon_{n+1}^{e(trial)} + \Delta\gamma \mathbf{N} - L^{(IC)} \ln \frac{t_N}{t_{N,n}} \frac{\mathbf{N}}{\text{tr}\mathbf{N}} + L^{(IC)} \ln \frac{t_N}{t_{N,n}} \mathbf{N}^{(IC)} = 0 \\ \bullet b_2 = \rho - \rho_n - \Delta\gamma \left\{ -(1+e_0)\sqrt{3} \frac{G/(1+k_a X) + Q/(1+k_b X)}{t_N} \right\} + \psi - \psi_n - \Delta\psi = 0 \\ \bullet b_3 = \ln \frac{t_N}{t_{N0}} + \zeta(X) - \frac{1+e_0}{\lambda - \kappa} \left\{ \varepsilon_{v,n}^p + \Delta\gamma \text{tr}\mathbf{N} \right\} - \frac{1}{\lambda - \kappa} \left\{ (\rho_0 - \rho) + (\psi_0 - \psi) \right\} = 0 \end{array} \right.$$

19

## 等方圧縮時の時間効果特性の解析(正規圧密土)

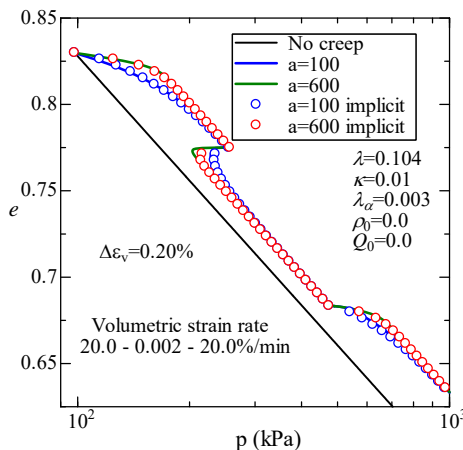
正規圧密粘土の定ひずみ圧縮試験およびクリープ試験の解析

時間効果特性に関する材料パラメータ

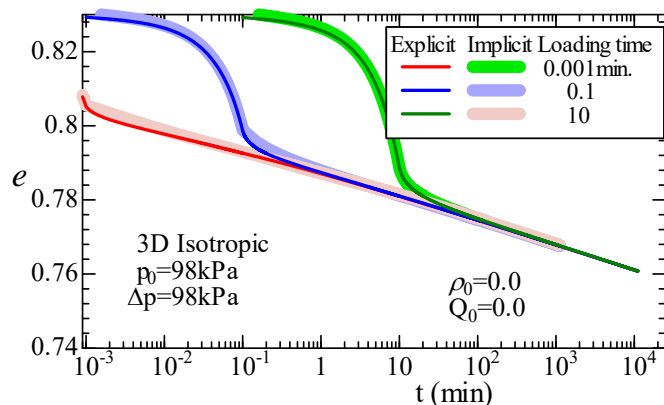
$$2 \text{ 次圧密係数 } \lambda_\alpha = 0.003$$

初期条件(換算間隙比の塑性変化速度)

$$(-\dot{e})_{(equ)0}^p = (-\dot{e})_{(equ)ref}^p = 1 \times 10^{-7} \%/\text{min}$$



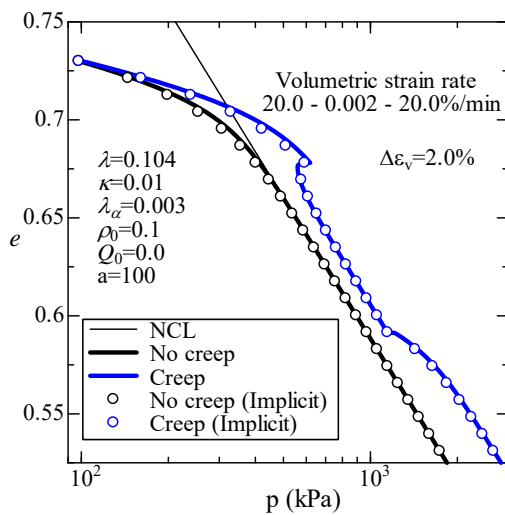
ひずみ速度を変えた定ひずみ速度試験



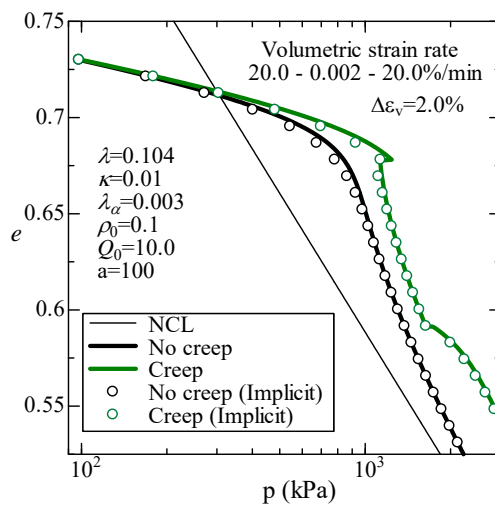
等方圧縮後のクリープ試験

# 等方圧縮時の時間効果特性の解析(過圧密土、自然堆積土)

ひずみ速度を変えた定ひずみ速度試験



過圧密土



自然堆積土

# せん断時の時間効果特性の解析(正規圧密土)

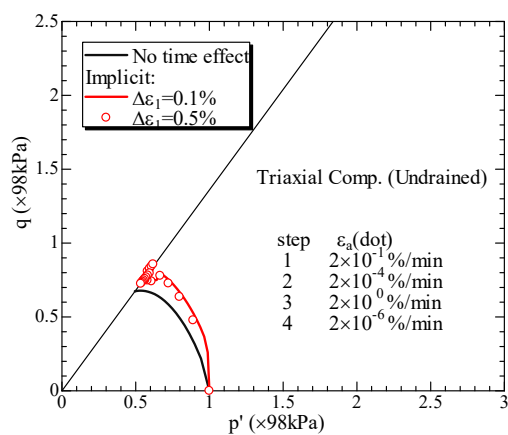
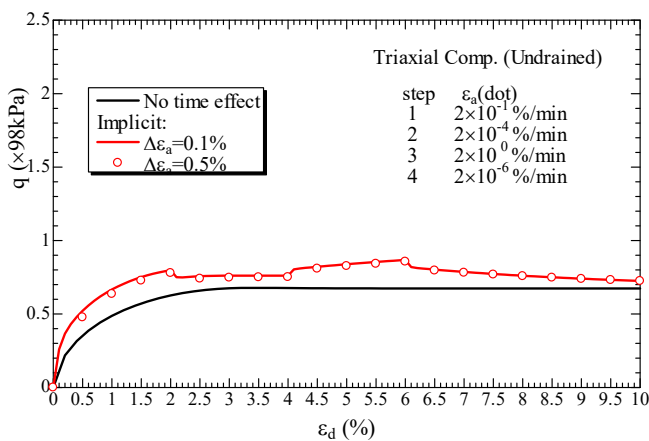
ひずみ速度を段階的に変えた非排水三軸圧縮試験の解析

時間効果特性に関する材料パラメータ

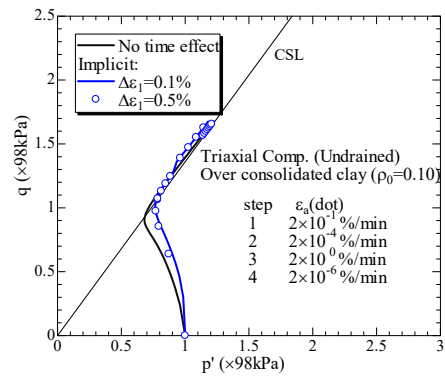
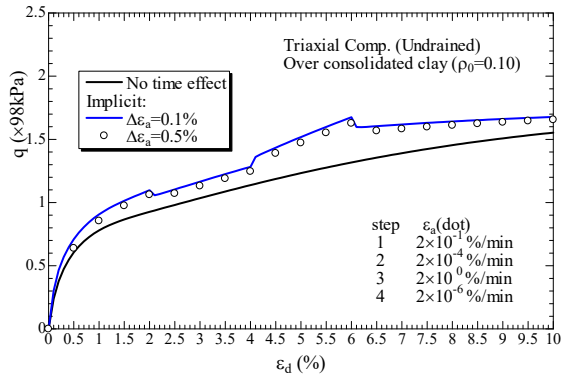
2次圧密係数  $\lambda_\alpha = 0.003$

初期条件(換算間隙比の塑性変化速度)

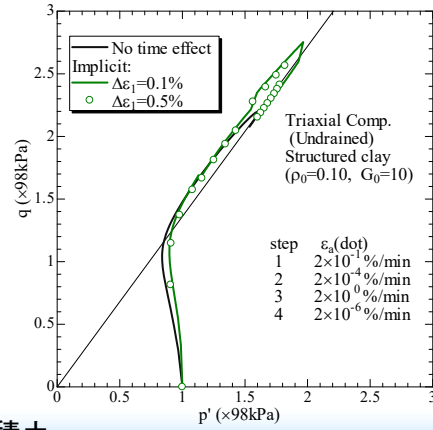
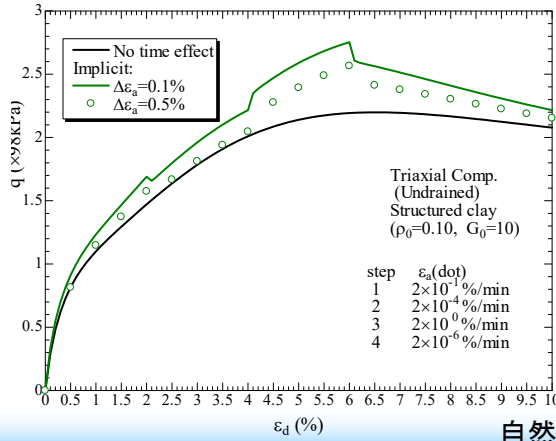
$$(-\dot{e})_{(equ)0}^p = (-\dot{e})_{(equ)ref}^p = 1 \times 10^{-7} \%/\text{min}$$



# せん断時の時間効果特性の解析(過圧密土、自然堆積土)



過圧密土



自然堆積土

## $t_{ij}$ の概念の意味

地盤工学会誌 Vol.66, No. 7, pp18-21, 2018  
「巨視的及び微視的観点から見た $t_{ij}$ の概念の意義」

# 微視的観点からみた $t_{ij}$ の意味

- Satake(1984)による構造テンソルの主値と応力比の関係

$$\varphi_1/\varphi_2 \approx (\sigma_1/\sigma_2)^{0.5}$$

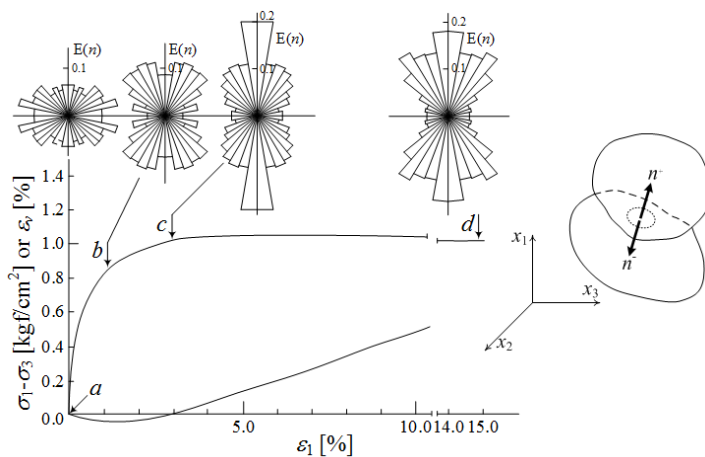
- Satake(1982)による修正応力

$$\sigma_{ij}^* = (1/3)\varphi_{ik}^{-1}\sigma_{kj}$$

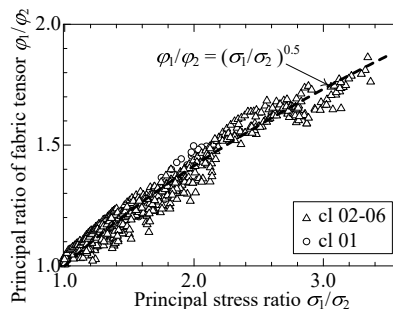
- 修正応力 $t_{ij}$  (Nakai & Mihara, 1984)

$$t_{ij} = a_{ik}\sigma_{kj}$$

$$(a_1, a_2, a_3) = \left( \sqrt{\frac{I_3}{I_2\sigma_1}}, \sqrt{\frac{I_3}{I_2\sigma_2}}, \sqrt{\frac{I_3}{I_2\sigma_3}} \right)$$

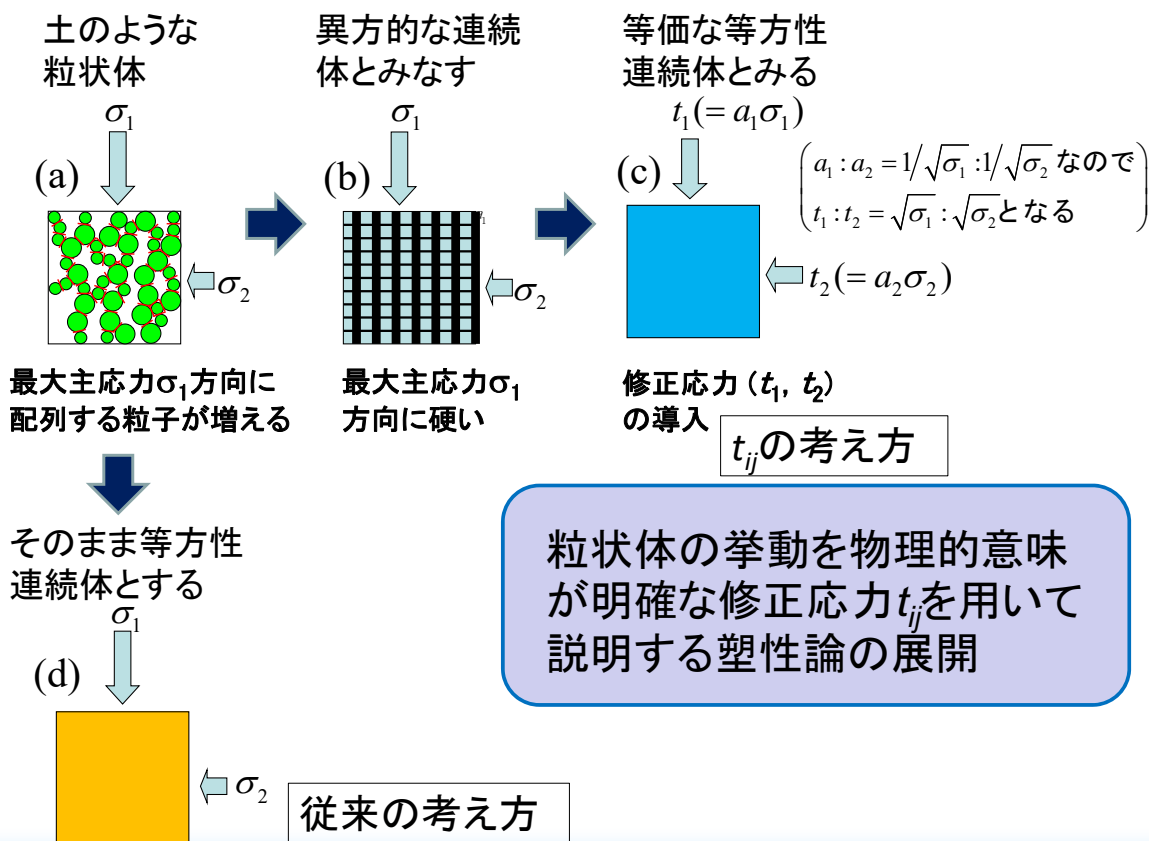


応力・ひずみ関係と粒子接平面の法線頻度分布 (Oda, 1972; 1993)

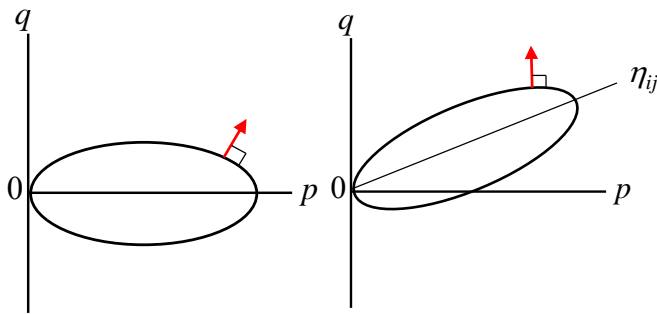


DEMによる構造テンソルの主値の変化 (Maeda et al., 2006)

# $t_{ij}$ の概念に基づく塑性論と通常の塑性論



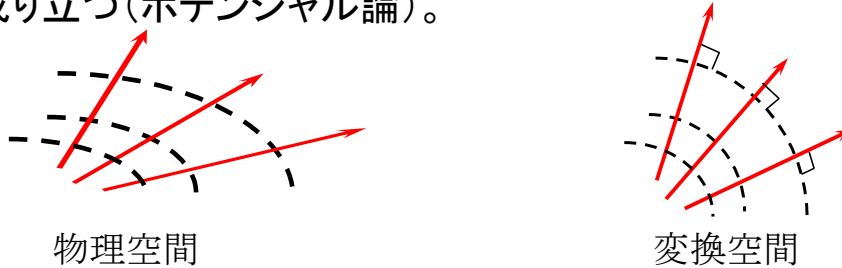
## $t_{ij}$ の概念における流れ則(直交則)の意味



等方硬化モデルはもちろんのこと、降伏関数を傾ける回転硬化モデル(左図)でも直行則を仮定して塑性ひずみ増分方向を決めている。

これは正しいか？

例えば、異方性地盤の透水問題では流れの方向は物理空間の等ポテンシャル面に直交せず、等方的な透水係数になるように変換した空間で直行則が成り立つ(ポテンシャル論)。



$t_{ij}$ の考え方は応力(応力比)誘導異方性を有する材料を、等価な等方性を有する材料に置き換えることを意味する。そのような意味において、 $\sigma_{ij}$ 空間ではなく $t_{ij}$ 空間で直行則を考えるのが妥当だと言える。

## 参考文献

- 1) Maeda K. Hirabayashi H. and Ohmura A. (2006): Micromechanical influence of grain properties on deformation – failure behaviors of granular media by DEM. *Proc. of Geomechanics and Geotechnics of Particulate Media*, Yamaguchi, 173-179.
- 2) Matsuoka H. and Nakai T. (1974): Stress-deformation and strength characteristics of soil under three different principal stresses, *Proc. of JSCE*, **232**, 59-70.
- 3) Murayama S. (1964): A theoretical consideration on a behavior of sand, *Proc. of IUTAM Symposium on Rheology and Soil Mechanics*, Grenoble, 146-159.
- 4) 中井照夫, 松岡元 (1980): 3主応力下の土のせん断挙動に関する統一的解釈, *土木学会論文報告集*, 301, 65-77.
- 5) Nakai T. and Mihara Y. (1984): A new mechanical quantity for soils and its application to elastoplastic constitutive models, *Soils and Foundations*, **24**(2), 82-94.
- 6) Nakai, T. and Hinokio, T. (2004): A simple elastoplastic model for normally and over consolidated soils with unified material parameters, *Soils and Foundations*, **44**(2), 53-70.
- 7) Nakai T., Shahin H.M., Kikumoto M., Kyokawa H., Zhang F. and Farias, M.M. (2011a): A simple and unified one-dimensional model to describe various characteristics of soils, *Soils and Foundations*, **51**(6), 1129-1148.
- 8) Nakai T., Shahin H.M., Kikumoto M., Kyokawa H., Zhang F. and Farias, M.M. (2011b): A simple and unified three-dimensional model to describe various characteristics of soils, *Soils and Foundations*, **51**(6), 1149-1168
- 9) Nakai, T. (2012): *Constitutive Modeling of Geomaterials: Principles and Applications*, CRC Press
- 10) 中井照夫 (2011): 地盤材料の構成モデル最前線 – 2.弾塑性論の解説とカムクレイモデルの適用性, *地盤工学会誌, 講座*, **59**(4), 47-55
- 11) 中井照夫 (2011): 地盤材料の構成モデル最前線 – 7.3主応力条件下での材料特性のモデル化, *地盤工学会誌, 講座*, **59**(9), 66-75.
- 12) 中井照夫 (2018): 巨視的および微視的観点から見た $t_{ij}$ の概念の意義, *地盤工学会誌*, **66**(7), 18-21.
- 13) Oda M. (1972): The mechanism of fabric changes during compressional deformation of sand, *Soils and Foundations*, **12**(2), 1-18.
- 14) Satake M. (1982): Fabric tensor in granular materials. *Proc. of IUTAM Conference on Deformation and Failure of Granular Materials*, Delft, 63-68
- 15) 佐武正雄 (1984): 地盤と土の異方性, *土と基礎*, **32**(11), 5-12.